

بررسی فرایندهای فیزیکی تبلور در سنگ‌های آذرین جنوب خاوری بیرجند با استفاده از مدل‌سازی سه بعدی بلورهای پلازیوکلаз

صدرالدین امینی، امیر اسکندری*

گروه زمین‌شناسی دانشگاه تربیت معلم تهران

(دریافت مقاله: ۸۸/۱۰/۸، نسخه نهایی: ۸۹/۴/۶)

چکیده: شکل بلورها در شرایط فیزیکی و شیمیایی تبلور، کنترل می‌شود؛ بنابراین اندازه‌گیری آن می‌تواند برخی از ویژگی‌های محیط تبلور بلورها را بازتاب دهد. در این نوشتار، روش‌های مختلف اندازه‌گیری کمی شکل بلورها در فضای سه بعدی بر مبنای محاسبات آماری، مدل‌سازی عددی نرم‌افزاری و مشاهدات میکروسکوپی مورد بحث قرار گرفته است. اندازه و شکل بلورها در دو گروه سنگ‌های آندزیت بازالتی و دیوریتی تا کوارتز دیوریتی منطقه‌ی مورد بررسی واقع در ۱۲۰ کیلومتری جنوب خاوری بیرجند پردازش شدند. ویژگی‌های هندسی بیش از ۳۲۰۰ بلور پلازیوکلاز در ۹ مقطع میکروسکوپی از این دو گروه سنگی اندازه‌گیری شدند. نتایج محاسبه‌ی نسبت منظر بلورها ($S:I:L$) یا بعد کوتاه: بعد متوسط: بعد بلند) و چگونگی نمونه‌ها در نمودار زینگ (نسبت S/I نسبت به I/L) نشان داد که نمود بلورها در هر دو گروه تخته‌ای است ($L \approx I$) و لی در گروه نخست، میزان تخته‌ای بودن بیشتر است ($I > L$). از مقایسه و تحلیل شرایط کینتیکی و دینامیکی تبلور می‌توان نتیجه گرفت که ریزبلورهای گروه اول در شرایط با درجه‌ی سردشدنی و سرعت رشد بیشتر (در حدود 10^{-9} mms^{-1}) برای یک دوره‌ی زمانی سردشدن ۳ ساله) نسبت به بلورهای گروه دوم در محیطی که جنبش نسبی بین بلور و محیط رشد بالا بود تشکیل شده‌اند، و جابجایی مکانیکی ماقما و شبیب بالای تغییرات پتانسیل شیمیایی نقش قابل توجهی در ایجاد شکل بلورها داشته است. در گروه دوم، سرعت رشد پایین و سرعت انتشار بالاتر بوده است. در ضمن فرایند درشت‌شده‌ی بافتی در تغییر شکل بلورهای گروه دوم از تخته‌ای به حالت‌های هم‌بعدتر و در کاهش نسبت منظر بلورها متناسب با افزایش اندازه‌ی بیشینه‌ی بلورها مؤثر بوده است.

واژه‌های کلیدی: شکل بلورها، تبلور آذرین، درشت‌شده‌ی بافتی، بیرجند.

میکروسکوپی مقاطع نازک سنگ‌ها انجام می‌شود. ولی مشکلی که وجود دارد این است که نمی‌توان از این بررسی‌های کیفی، روابطی ریاضی به دست آورد و آن‌ها را به معادلات شناخته شده‌ی کینتیکی و دینامیکی تبلور پیوند داد.

یکی از روش‌های بررسی بافت سنگ‌های آذرین در کنار بررسی‌های کیفی، اندازه‌گیری ابعاد آن‌ها به صورت کمی است [۱-۳]. به طور معمول خاستگاه سنگ‌ها با بررسی کمی

مقدمه بررسی بافت سنگ‌های آذرین و ویژگی‌های اجزای سازنده‌ی آن (از جمله بلورها، شیشه، حفره‌ها) از دیرباز به عنوان متداول‌ترین روش برای ارزیابی فرایندهای فیزیکی و تحولات سیستم‌های ماقمایی به کار رفته است، زیرا بافت سنگ‌های آذرین، تاریخچه‌ی فیزیکی تبلور را در خود ثبت می‌کند. اغلب این بررسی‌ها به صورت کیفی و با استفاده از بررسی‌های

*نویسنده مسئول، تلفن - نمبر: ۰۲۱-۸۸۳۰۹۲۹۳، پست الکترونیکی: amir.eskandary157@yahoo.com

زمین‌شناسی ۱۲۵۰۰۰ گزیک و ۱:۱۰۰.۰۰۰ پورنگ قرار می‌گیرد (شکل ۱).

به طور کلی در این منطقه چند گروه سنگی به شرح زیر وجود دارند که بخش غالب آنها را واحدهای آذرین تشکیل می‌دهند: ۱- سنگ‌های آذرین و رسوبی وابسته به مجموعه‌ی افیولیتی و سنگ‌های دگرگونی همراه با آن به سن کرتاسه که بخش گسترده‌ای از منطقه را پوشش داده‌اند. در این منطقه تقریباً همه‌ی رخساره‌های سنگی وابسته به مجموعه‌ی افیولیتی وجود دارند [۱۳]. ۲- سنگ‌های آذرین و رسوبی جوانتر از مجموعه‌ی افیولیتی با سن پالئوسن تا کواترنری. از این گروه، سنگ‌های نفوذی نیمه‌عمیق در حد میکرودیوریت-کوارتزدیوریت پورفیری و سنگ‌های آتشفسانی با ترکیب آندزیت بازالتی در این پژوهش مورد توجه قرار گرفته‌اند. سن این سنگ‌ها در نقشه و شرح نقشه‌ی زمین‌شناسی ۱۲۵۰۰۰ گزیک [۱۴]، الیگومیوسن تعیین شده است و شواهد صحرایی مانند قطع شدن سنگ‌های الترامافیک و ایجاد دگرگونی مجاورتی و دگرسانی نیز حاکی از تشکیل این سنگ‌ها پس از جای گیری مجموعه‌ی افیولیتی منطقه است. بررسی‌های ژئوشیمیابی حاکی از این است که سنگ‌های مورد بررسی ناشی از ماقماتیسم وابسته به فرورانش شرق ایران هستند [۱۵، ۱۳].

نمونه‌های دیوریتی و کوارتز دیوریتی دارای بافت پورفیری با زمینه‌ی ریز دانه هستند (شکل‌های ۲ و ۳). بلورهای درشت شامل پلازیوکلاز (۳۰ درصد ترکیب مدى)، هورنبلند و بیوتیت (۱۵ درصد ترکیب مدى) و در کوارتز دیوریت‌ها، کوارتز (۵ درصد ترکیب مدى) هستند. زمینه‌ی ریز دانه سنگ متشكل از پلازیوکلاز، آمفیبول، کوارتز و کانی‌های کدر است که با شدت بیشتری دگرسان شده‌اند. اسفن، آپاتیت، و کانی‌های کدر به عنوان کانی‌های فرعی و کمیاب حضور دارند. نمونه‌ی آندزیت بازالتی، سنگی با بافت ریز بلور پورفیری است. در نمونه‌های آندزیت بازالتی میزان درشت‌بلورها بسیار کم و شامل الیوین‌های ایدینگستی شده، کلینوپیروکسن و پلازیوکلاز هستند (شکل ۳ الف). زمینه از میکرولیت‌های پلازیوکلاز، بلورهای کوچک و نیمه‌شکل‌دار کلینوپیروکسن و کانی‌های کدر (مگنتیت) تشکیل شده است.

ویژگی‌های بافتی سنگ‌های دیوریتی- کوارتز دیوریتی منطقه، نشانه‌هایی از اختلاط ماقمایی به صورت تزریق ماقمایی

شاخص‌هایی چون ترکیب شیمیابی و ایزوتوپی تعیین می‌شود. در سال‌های اخیر اندازه‌گیری کمی بافت‌ها نیز به عنوان یکی از ابزارهای تعیین خاستگاه سنگ‌ها اهمیت فراوانی یافته است، زیرا فرایندهای سنگ‌شناسی مهمی از جمله هسته‌بندی و رشد بلورها و درشت‌شدگی بافتی (textural coarsening) وجود دارند که با استفاده از بررسی‌های شیمیابی و ایزوتوپی قابل شناسایی و بررسی نیستند و ترکیب شیمیابی کلی سنگ را (در سیستم‌های بسته) تغییر نمی‌دهند [۳-۱]. با استفاده از روش‌های نوینی که برای اندازه‌گیری ویژگی‌های هندسی بلورها ابداع شده است [۲، ۴] بافت سنگ‌های آذرین به صورت کمی تحلیل می‌شود.

برخی از ویژگی‌های کلیدی بلورها در یک سنگ که قابل کمی سازی هستند عبارتند از:

(الف) توزیع اندازه‌ی بلورها (Crystal Size Distribution) یا CSD [۵، ۶]. ب) شکل بلورها (Crystal Shape) [۸، ۷]. ج) آرایش یا الگوی توزیع فضایی بلورها (Distribution Pattern) [۹]. د) زوایای بین وجهات (Spatial Dihedral Angles) [۱۰].

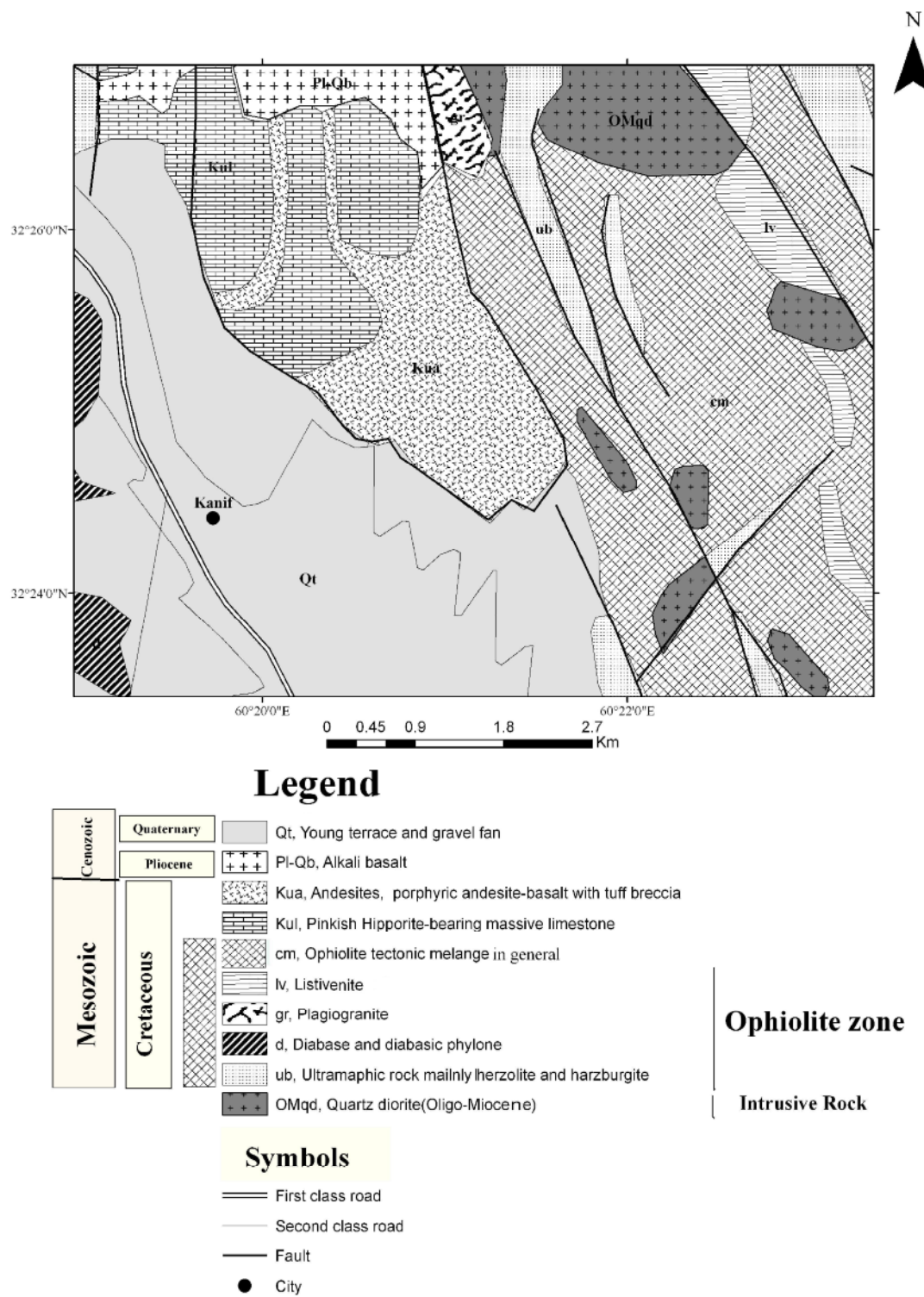
بررسی‌های نظری و تجربی در حوزه‌ی سنگ‌شناسی آذرین و علوم دیگر، همچون مواد و شیمی، ارتباط بین شکل بلورها و شرایط فیزیکی و شیمیابی محیط بلور را آشکار کرده است [۲]. به علاوه، تعیین شکل بلورها، پیش‌نیاز محاسبات استئورولوژی (تبديل داده‌های دو بعدی به مقادیر واقعی سه بعدی) و رسم نمودارهای توزیع اندازه‌ی بلورهای [۱۱، ۶]؛ به این ترتیب، اهمیت ارزیابی شکل بلورها روشن می‌شود.

در این پژوهش، روش کلی برداشت داده‌ها برای اندازه‌گیری کمی بافت سنگ‌ها بر اساس مقاطع نازک، تشریح شده و روش‌های مختلفی برای تعیین شکل سه بعدی بلورهای پلازیوکلاز در سنگ‌های مورد نظر، بررسی شده‌اند تا به رهیافت‌هایی در فرآیندهای فیزیکی مؤثر در تشکیل این سنگ‌ها دست یابیم.

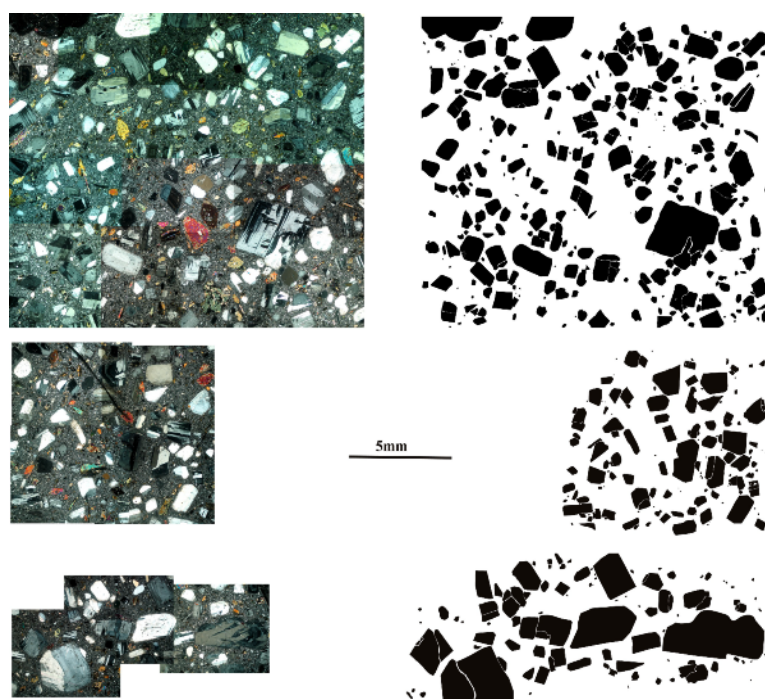
زمین‌شناسی عمومی و سنگ‌شناسی
منطقه‌ی مورد بررسی در فاصله‌ی تقریبی ۱۲۰ کیلومتری جنوب خاوری شهر بیرجند و در حوالی روستاهای کنیف و سولابست قرار دارد. از نظر زمین‌شناسی، این منطقه بخشی از زون جوش‌خورده‌ی سیستان است [۱۲] و در نقشه

آمفیبول با حاشیه‌ی واکنشی از آمفیبول و بیوتیت و کوارتزهای با حاشیه‌ی گرد شده و خلیجی هستند. مدل سازی ژئوشیمیابی بر اساس عناصر اصلی و کمیاب نیز شواهد اختلاط ماقمایی را تأیید کرده است [۱۵].

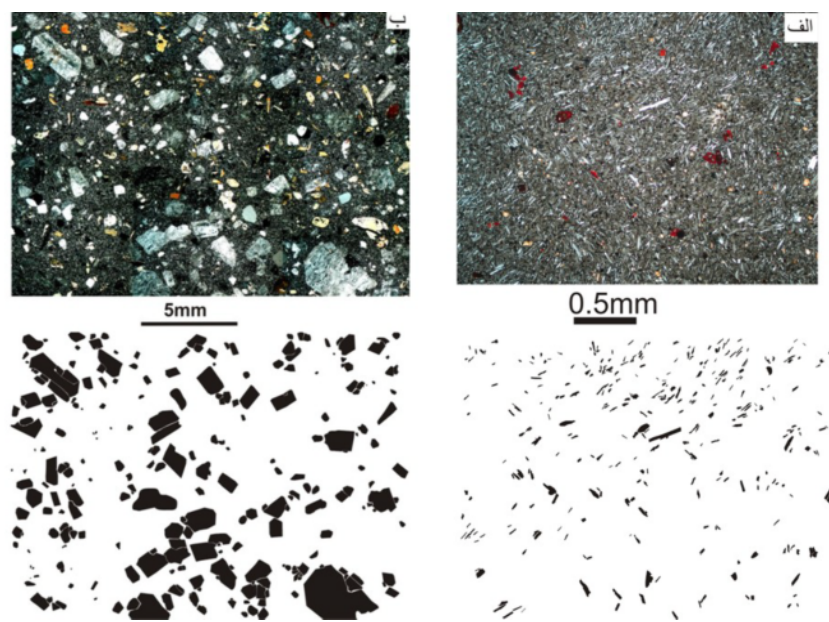
مافیک‌تر و داغ‌تر ولی با ترکیب مشابه نسبت به ماقمایی درون مخزن ماقمایی را دارند. از جمله‌ی این ویژگی‌ها، وجود برونبوم‌های مافیک (MME)، منطقه‌بندی نوسانی و بافت غربالی در پلازیوکلازها، وجود بیگانه‌بلورهای پیروکسن و



شکل ۱ نقشه‌ی ساده‌ی زمین‌شناسی منطقه‌ی مورد بررسی (نقشه اصلی از [۴۴]).



شکل ۲ تصاویر چند ناحیه از مقطع MAD4 (سمت چپ) و تصاویر پردازش شده پس از رسم محیط بلورهای پلازیوکلаз (سمت راست). مقیاس همهی تصاویر یکسان است. در تهیه و پردازش تصاویر بالا از تلفیق ۲۳ عکس دیجیتالی استفاده شده است.



شکل ۳ (الف) تصاویر اصلی و پردازش شدهی نمونه KHD7. (ب) تصاویر اصلی و پردازش شدهی نمونه KB2.

۱- گام نخست در روش مورد استفاده، انتخاب مقاطع نازک مناسب است. این مقاطع میکروسکوپی بایستی دارای چند شرط باشند: الف- جداسازی بلورهای مورد نظر از زمینه با آسانی بیشتری انجام شود و میزان تجزیهی آنها پایین باشد. ب- جمعیت‌های بلوری موجود در آنها، نماینده‌ای از کل

روش برداشت داده‌ها

در این پژوهش از روش‌هایی که هیگینز [۲۶] تشریح کرده است بهمنظور گردآوری داده‌های خام وابسته به جمعیت‌های بلوری استفاده شد. فرایند برداشت داده‌ها را می‌توان به صورت زیر خلاصه کرد:

بیضوی، نماینده‌ی طول و عرض بلور و مکان مرکز بیضوی معرف مرکز بلور خواهد بود. درصد حجمی بلورها و زمینه نیز با این نرمافزار محاسبه می‌شود. در چند مرحله برای بررسی درستی نتایج، بازیبینی مقطع میکروسکوپی انجام شد. مرحله‌ی بعد، تبدیل داده‌های حاصل از اندازه‌گیری ابعاد بلورها در تصاویر دو بعدی به مقادیر واقعی سه بعدی است که روش‌های تعیین شکل سه بعدی بلورها در بخش بعدی تشریح می‌شوند.

روش مطالعه

ویژگی‌های مختلفی از شکل بلورها را می‌توان اندازه‌گیری کرد و از این ویژگی‌ها برای بیان کمی شکل بلورها استفاده کرد. مهم‌ترین این ویژگی‌ها، نسبت منظر بلور است [۲]. در این پژوهش نیز شکل بلورها بر حسب نسبت منظر بلور محاسبه و بیان می‌شود. نسبت منظر یک بلور نسبت طول: عرض: ارتفاع آن بلور در فضای سه بعدی است.

این نسبت به صورت $S:I:L$ (بعد کوتاه: بعد متوسط: بعد بلند) بیان می‌شود [۷] که نسبت ابعاد بیضوی سه محوره یا جامد چهارضلعی است که یک بلور را احاطه می‌کند و بیشترین همخوانی را با پیرامون بلور دارد. در عمل و برای سهولت در محاسبات، نسبت یاد شده به دو نسبت S/I و I/L تقسیم می‌شود. برای اندازه‌گیری شکل سه بعدی بلورهای سنگ، روش‌های مختلفی پیشنهاد شده که برخی از آن‌ها مانند روش مقطع متوالی، توموگرافی پرتو X (X-ray tomography) و روبش فضایی رایانه‌ای (CT-Scanning) پژوهیزینه و زمان بر هستند [۱۶، ۱۷]. روش‌های دیگری نیز پیشنهاد شد که بر اساس داده‌های به دست آمده از مقاطع نازک، شکل سه بعدی بلورها، تعیین می‌شود و بر مبنای محاسبات آماری [۱۸] یا مدل‌سازی عددی [۱۱، ۸] هستند که در ادامه به برخی از این روش‌ها اشاره خواهد شد. استفاده از مشاهدات میکروسکوپی مقاطع نازک نیز می‌تواند در مواردی سودمند باشد. در صورتی که حداقل، تعدادی از بلورها در مقطع نازک به موازات محورهای بلورشناسی‌شان قطع شده باشند، می‌توان اندازه و نمود واقعی آن‌ها را تشخیص داد [۳، ۷] بنابراین باید تلفیقی از روش‌های محاسباتی و مشاهدات میکروسکوپی به کار گرفته شوند تا منجر به ارزیابی دقیق‌تری از شکل بلورها در نمونه‌های مورد بررسی شود.

جمعیت‌های بلوری در سنگ‌های مورد بررسی باشند. با این شرایط، تعداد نه مقطع نازک برگزیده شدند: یک نمونه از آندزیت‌های بازالتی و هشت نمونه از سنگ‌های میکرودیوریتی و کوارتز دیوریتی.

۲- عکس‌های دیجیتالی از بخش‌های مختلف مقاطع نازک و با عدسی میکروسکوپی با مقیاس 10×2.5 گرفته شدند. سپس با استفاده از نرمافزار Photoshop عکس‌ها به یکدیگر وصل شدند تا سطح بیشتری از مقطع پوشش داده شود (مانند شکل‌های ۲ و ۳). با توجه به بافت پورفیری نمونه‌ها و اندازه‌ی درشت بلورها چنین کاری برای دستیابی به تعداد بیشتر و گستره‌ی کامل اندازه‌ی بلورها ضروری بود. جز نمونه‌ی آندزیت بازالتی، برای بقیه‌ی نمونه‌های مقاطع از ۱۰ تا ۲۰ تصویر به ازای هر مقطع استفاده شد. در مجموع دست کم ۲۰۰ عکس با این هدف برداشت شدند.

۳- محیط بلورهای پلازیوکلаз از روی عکس ترسیم شد (مانند شکل‌های ۲ و ۳). این کار با استفاده از بسته‌های نرمافزاری ArcGIS و CorelDraw امکان پذیر بوده است. با توجه به اینکه در بررسی کمی بافت‌ها از روش‌های آماری استفاده می‌شود لذا تا حد امکان باید تعداد بلورهای مورد اندازه‌گیری زیاد باشد تا نتایج حاصل در سطح معنی‌دار بالاتری قرار گیرند. بنا به سفارش پژوهشگران، دست کم ۲۰۰ تا ۲۵۰ بلور در هر مقطع باید اندازه‌گیری شود [۱۶، ۸]. در مجموع بیش از ۳۲۰۰ دانه‌ی پلازیوکلاز در مقاطع مختلف ترسیم و اندازه‌گیری شدند. ناحیه و تعداد بلورهای اندازه‌گیری شده در هر مقطع در جدول ۱ ارائه شده‌اند. برای نمونه‌های MAD4، KHD3 و JAJ2 از چند ناحیه‌ی مقطع به جای یک ناحیه استفاده شد و برای هر ناحیه، مراحل ۲ و ۳ به صورت جداگانه تکرار شدند تا تعداد بیشتری از بلورها مورد شمارش قرار گیرند.

۴- تصاویر پردازش شده در مرحله‌ی پیشین، به صورت سیاه و سفید تبدیل شده و وارد نرمافزار آنالیز تصویر ImageJ شد. سپس ویژگی‌های بلورها مانند طول، عرض، مکان مرکز بلورها (محثصات x و y برای هر بلور) و درجه‌ی گردش‌گی با استفاده از نرمافزار آنالیز تصویر اندازه‌گیری شدند. در این نرمافزار پیرامون هر دانه، یک بیضوی که بیشترین همخوانی را با دانه مورد نظر دارد ترسیم شد، و طول محورهای کوتاه و بلند این

جدول ۱ برخی از مشخصات کلی نمونه‌ها و بلورهای پلازیوکلاز اندازه‌گیری شده.

شماره نمونه	ترکیب سنگ‌شناسی	ناحیه اندازه گیری شده (mm^2)	تعداد بلورهای شمارش شده	طول کمینه (mm)	طول بیشینه (mm)	طول بیشینه (mm)
MAD4	کوارتزدیوریت	۳۵۵	۵۴۶	۰,۰۴	۰,۹	
JAJ2	کوارتزدیوریت	۳۵۳	۲۹۲	۰,۰۵	۰,۲	
KHD2	میکرو دیوریت کوارتزدار	۲۸۰	۳۹۵	۰,۱۱	۲,۸۸	
KHD3	کوارتزدیوریت	۳۰۸	۳۶۲	۰,۰۵	۰,۴	
KHD7	کوارتزدیوریت	۱۸۰	۲۶۹	۰,۱	۰,۳۶	
KHA6	کوارتزدیوریت	۱۲۰	۲۶۸	۰,۰۵	۰,۲۷	
KHT6	میکرو دیوریت کوارتزدار	۳۰۲	۳۶۶	۰,۰۶	۰,۵۷	
KHT8	میکرو دیوریت	۳۰۰	۳۴۳	۰,۰۸	۰,۷۴۸	
KB2	آندرزیت بازالتی	۶,۸	۳۰۷	۰,۰۹	۱,۶	

توزیع نسبت عرض به طول (W/L) بلورها در مقطع نازک و مطابق با رابطه ذیل به دست آورد [۷]:

$$\text{چولگی} = I/L = 0.5 +$$

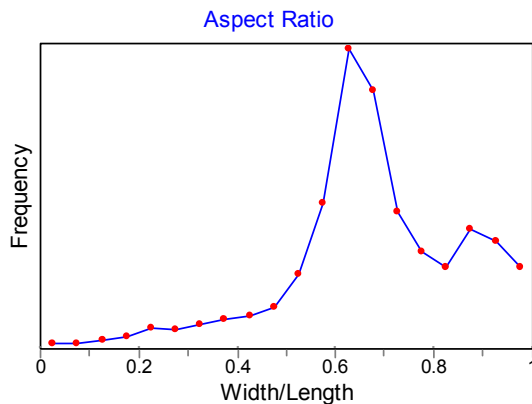
چولگی نیز از فرمول ذیل به دست می‌آید:

انحراف استاندارد ($(W/L)_{\text{مد}} - (W/L)_{\text{مد}} = \text{چولگی}$) در مرحله‌ی بعد می‌توان از نمودار چولگی نسبت به I/L استفاده کرد تا شکل کلی بلورها با شکل‌هایی که از پیش مدل‌سازی شده‌اند مقایسه و تعیین شود. نتایج محاسبه‌ی نمود بلورها با این روش در جدول ۳ خلاصه شده است. این روش در برخی موارد نتایج مناسبی را ارائه نمی‌دهد، به‌طور مثال نمود بلورها در نمونه‌ی KB2 با این روش $4/3 : 1$ به دست آمده که منطقی نیست، زیرا L بایستی بزرگ‌تر از I باشد یا در نمونه JAJ2 نسبت منظر $3/5 : 1$:۱ محاسبه شده که در هیچ بلوری چنین نسبتی برقرار نیست. بنابراین بایستی در چنین مواردی از روش‌های دیگری برای تصحیح نتایج استفاده کرد.

روش اول

این روش بر اساس مدل‌سازی عددی نمود سه‌بعدی بلور با استفاده از شکل بلورها در مقاطع نازک است [۱۹,۷]. این مدل بر پایه اجسام راست‌گوش و چهارضلعی‌های با ابعاد فضایی مشخص استوار است و نتایج آن قابل تعمیم به بلورهای موجود در سنگ‌هاست. بنا بر پیشنهاد هیگینز [۷]، با تحلیل آماری شکل و اندازه بلورها در مقاطع نازک می‌توان شکل و اندازه‌ی واقعی بلورها را تعیین کرد. مقدار S در تمام روش‌های موجود از جمله در روش [۷] برابر با ۱ در نظر گرفته می‌شود. نسبت S/I معادل با مقدار توزیع نسبت‌های عرض به طول (W/L) بلورها در مقطع نازک است. قله‌ای که در نمودار فراوانی نسبت به عرض به طول بلورها تولید می‌شود، مقدار مقدار I/L مشکل‌تر می‌سازد (مانند شکل ۴). تعیین دقیق نسبت I/L مشکل‌تر است؛ به خصوص اگر بلورهای موجود در مقطع، سمت‌گیری خاصی نداشته باشند.

این نسبت را می‌توان با افزودن $0/۵$ به چولگی [خمیدگی]

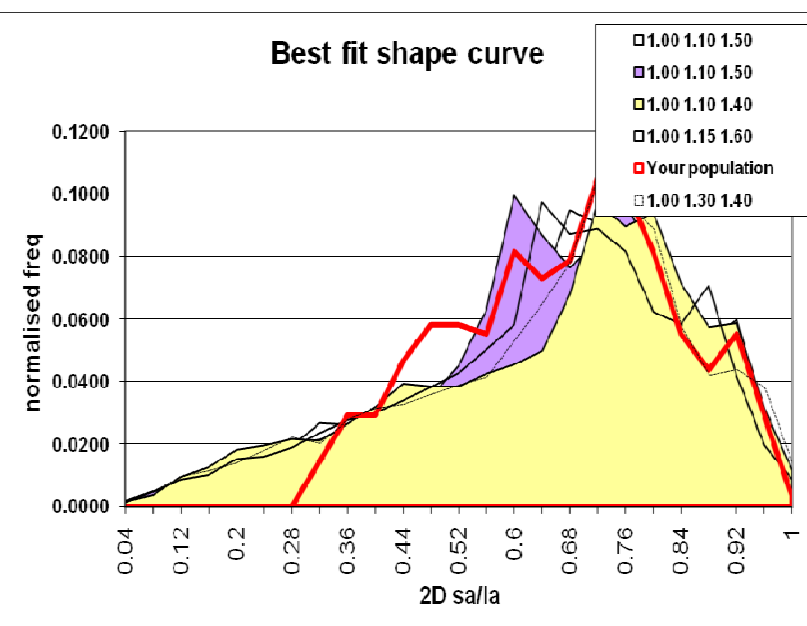


شکل ۴ نمونه‌ای از نمودارهای پراکندگی نسبت‌های عرض به طول بلورها (نمودار MAD4). قله بلند در نمودار مقدار مد را نشان می‌دهد که در این مورد $0,۶۵$ است و به این ترتیب مقدار I برابر با $۱/۵$ محاسبه می‌شود.

شکل‌های موجود، ۵ منحنی که بیشترین همخوانی را با منحنی واقعی فراوانی نسبت به توزیع عرض به طول بلورها دارند به عنوان خروجی معرفی می‌شوند (مانند شکل ۵). در نهایت، ۵ نسبت منظر بر اساس برازش حداقل مربعات بین نسبت‌های S/I در نمونه و نسبت‌های موجود در بانک داده‌ها انتخاب می‌شود که یکی از آن‌ها با توجه به اطلاعات موجود دیگر به عنوان نماینده‌ای از شکل بلورها انتخاب می‌شود (مانند جدول ۲). نتایج براورد شکل بلورها با این روش در جدول ۳ ارائه شده‌اند.

روش دوم

در این روش با ایجاد یک بانک داده‌ها و برنامه‌ی صفحه‌ی گستردگی CSDSlice، نسبت منظر بلورها تعیین می‌شود [۸]. به‌طور خلاصه، در این روش توزیع نسبت عرض به طول بلورها در یک مقطع نازک را با توزیع مدل‌هایی که از قبل تهیه شده‌اند، مقایسه می‌کنند و به این ترتیب، نسبت S/I و I/L نسبت منظر L:S:I به دست می‌آید. در بانک داده‌های یاد شده، ۷۰۳ نمود مختلف به صورت نسبت L:S:I وجود دارد. با وارد کردن اندازه‌گیری‌هایی که از نمونه‌های دو بعدی به دست آمد (طول و عرض بلورها) در برنامه‌ی CSDSlice و مقایسه با



شکل ۵ نمونه‌ای از منحنی‌های فراوانی نسبت به توزیع نسبت‌های S/I که با برنامه CSDSlice برای ارزیابی شکل بلورها در مقطع KHT8 ترسیم شده است. یکی از منحنی‌ها که بیشترین همخوانی را با منحنی واقعی فراوانی دارد برابر توزیع نسبت‌های S/I در نمونه KHT8 دارد بر اساس برازش خطی انتخاب و معرفی می‌شود.

جدول ۲ نتایج انتخاب ۵ نسبت منظر مناسب برای مقطع KHT8 بر اساس محاسبات انجام شده در برنامه CSDSlice. اعداد سطر دوم، بهترین انتخاب نرم‌افزار برای شکل بلورها است.

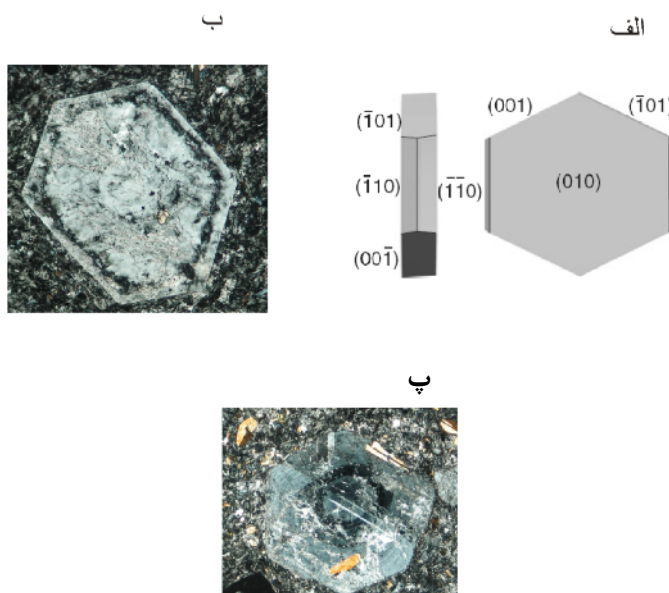
شكل	x	y	z	score (R^2)
بهترین انتخاب نرم افزار	۱,۰۰	۱,۳۰	۱,۴۰	۰,۸۷۹۸
دومین انتخاب نرم افزار	۱,۰۰	۱,۱۰	۱,۵۰	۰,۸۵۸۸
سومین انتخاب نرم افزار	۱,۰۰	۱,۲۵	۱,۷۰	۰,۸۳۷۲
چهارمین انتخاب نرم افزار	۱,۰۰	۱,۱۰	۱,۴۰	۰,۸۲۸۴
پنجمین انتخاب نرم افزار	۱,۰۰	۱,۱۵	۱,۶۰	۰,۸۲۴۷

دست می‌آید. مثالی از کاربرد این روش تخته‌های پلازیوکلازی است که به طور معمول در راستای (100) پهن شده باشند [۲]. این فرض را می‌توان در نظر گرفت که بلورهایی که بلورهایی که در راستای (100) دیده می‌شوند هم بعنهای، بنابراین $I=L$ است (شکل ۶) در نتیجه در صورتی که نسبت S/I تعیین شود، شکل بلور نیز برآورد شده است. در دو نمونه KHA6 و KHD2 چنین بلورهایی شناسایی شدند (شکل ۶) و در نتیجه شکل آن‌ها به این روش برآورد شد و مقدار I برابر با L در نظر گرفته شد (جدول ۳).

روش سوم
بهترین روش برای تعیین شکل بلورهای منشوری، آزمودن بلورهای با سمت‌گیری خاص در مقطع میکروسکوپی است: یعنی بلورهایی که محور بلند آن‌ها به موازات مقطع باشد [۲]. این راهبرد در برخی بررسی‌ها به عنوان روش نهایی تعیین شکل بلورها در مواردی به کار رفته است که روش‌های دیگر چند نسبت منظر متفاوت را ارائه کرده‌اند [۳، ۲۰]. با توجه به اینکه در این روش از مشاهده‌ی مستقیم نمونه استفاده می‌شود، در صورت وجود شرایط لازم، نتایج مطمئن‌تری به می‌باشد.

جدول ۳ نتایج محاسبه‌ی شکل بلورها به روش‌های مختلف و گزینش شکل مناسب برای هر نمونه. روش ۱ از [۷] روش ۲ از [۸] و روش ۳ از [۲] می‌باشد.

شکل منتخب	روش ۳	روش ۲	روش ۱	شماره نمونه
$1:1.5:1.7$	-	$1:1.3:1.5$	$1:1.5:1.71$	MAD4
$1:1.3:1.7$	-	$1:1.3:1.7$	$1:1.4:1.35$	JAJ2
$1:1.4:1.4$	$I=L$	$1:1.3:1.4$	$1:1.4:1.4$	KHD2
$1:1.4:1.7$	-	$1:1.4:1.7$	$1:1.66:2.7$	KHD3
$1:1.8:1.8$	-	$1:1.25:1.7$	$1:1.8:1.8$	KHD7
$1:1.5:1.5$	$I=L$	$1:1.4:2.4$	$1:1.5:3.7$	KHA6
$1:1.82:1.82$	-	$1:1.25:1.8$	$1:1.82:1.82$	KHT6
$1:1.3:1.4$	-	$1:1.3:1.4$	$1:1.5:3$	KHT8
$1:6:6$	-	$1:4:7$	$1:6:4.3$	KB2



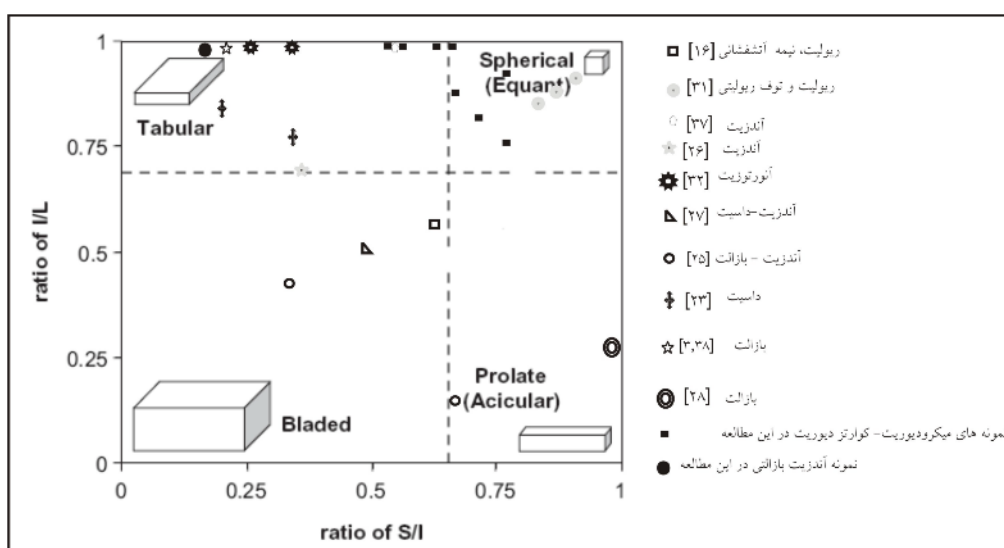
شکل ۶ (الف) مدلی از یک تخته‌ی پلازیوکلاز به عنوان شکل ایده‌آل یک بلور پلازیوکلاز که با برنامه‌ی نرمافزاری ایجاد شده است (برگرفته از [۲۰]). در این مدل، سرعت رشد (100) معادل با 0.2 برابر سرعت رشد وجه دیگر است. (ب) بلور پلازیوکلاز که وجه (100) را نشان می‌دهد (مقطع KHA6). (ب) وجه تخته‌ای بلور پلازیوکلاز در مقطع KHD2 به موازات (100) آن دیده می‌شود.

[۲۱، ۲۲] که در مورد تأثیر هر یک از عوامل بالا و مقایسه‌ی نقش آن‌ها در گروه‌های مختلف سنگی در این پژوهش بحث خواهد شد.

یکی از شاخص‌های کینتیکی مهم در کنترل شکل بلورها درجه‌ی سردشدن است، ولی تأثیر دقیق درجه‌های پایین سردشدنی که در طبیعت رخ می‌دهد، بر تفاوت شکلی بلورها روشن نیست [۲۳]. بررسی‌های تجربی مختلفی درباره‌ی تغییر شکل بلورهای پلازیوکلاز در سرعت‌های متفاوت سردشدن انجام شده است [۲۴]. این بررسی‌ها در درجات بالایی از سردشدنی انجام شده و با پیشرفت عمل سردشدنی، تغییرات و انتقال شکل از حالت تخته‌ای به اسکلتی و درختی و در نهایت به حالت اسفرومیکی صورت گرفته است، ولی به طور معمول در طبیعت با درجات پایینی از سردشدنی روپرو هستیم و تغییرات شکلی بلورهای خودشکل در چنین شرایطی رخ می‌دهد که قواعد زمانی، امکان انجام چنین تجربیاتی را نمی‌دهد. با این حال اگر بلورهای درختی با نسبت‌های پایین عرض به طول در سرعت‌های بالای سردشدن تشکیل شده باشند، بنابراین ممکن است بلورهای شکل‌دار و هم‌بعدتر در شرایط سرعت سردشدن بسیار پایین‌تری تشکیل شوند. اگرچه میزان و شدت این تأثیر در درجات کم سردشدن مشخص نیست.

بحث و بررسی

محاسبات شکل بلورها در نمودار زینگ یا نمودار نسبت I/L نسبت به S/I [۱۶] ترسیم شده‌اند (شکل ۷). در این نمودار، تمامی نمونه‌ها در گستره‌ی شکل‌های تخته‌ای و هم‌بعد قرار دارند. چند نکته از جدول ۳ و شکل ۷ برداشت می‌شود: ۱- نمونه آندزیت بازالتی به لحاظ شکل بلورها، تفاوت بارزی با دیگر نمونه‌ها دارند و نشان می‌دهد که میکرولیت‌های پلازیوکلاز شکل تخته‌ای بالایی دارند. ۲- در نمونه‌های دیوریتی - کوارتز دیوریتی، شکل بلورهای پلازیوکلاز تخته‌ای تا هم‌بعد است، زیرا مقدار I و L با هم مساوی بوده یا تفاوت جزئی دارند، و در ضمن مقدار I و L کمتر از دو هستند. ۳- برای نمونه‌هایی که شکل بلورها تخته‌ای و مقدار I و L کمتر از دو باشند، روش‌های گوناگون، نتایج به نسبت همسانی را ارائه می‌دهند. در ادامه، در مورد دلالت تفاوت شکلی بلورها در دو گروه سنگ‌ها و نیز علت و چگونگی تغییر شکل بلورها از حالت‌های تخته‌ای به هم بعد بحث خواهد شد. عوامل کینتیکی و دینامیکی مختلفی در تعیین شکل بلورها مؤثرند که برخی از آن‌ها، عبارتند از درجه‌ی سردشدنی ماقما، درجه‌ی ابر اشباعی ماقما، ساختار بلور، نرخ یا سرعت انتشار و سرعت رشد، گرادیان (شیب تغییرات) پتانسیل شیمیایی پیرامون سطوح در حال رشد، جایه‌جایی مکانیکی ماقما و درشت شدگی بافتی

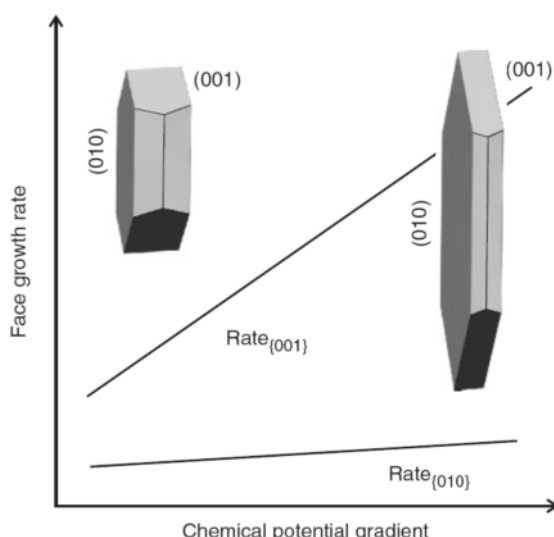


شکل ۷ نمودار زینگ (اصل نمودار برگرفته از [۱۶]). بیشتر نمونه‌ها در گستره‌ی شکل‌های تخته‌ای و برخی نیز در گستره‌ی شکل‌های هم‌بعد قرار گرفته‌اند. نمونه‌های دیوریتی - کوارتز دیوریت به صورت مریع توپر و نمونه‌ی آندزیت بازالتی به صورت دایره نمایش داده شده است. نسبت منظر بلورها در بررسی‌های دیگر نیز همراه با نوع سنگ مورد بررسی، برای مقایسه در نمودار ترسیم شده است.

جابه‌جایی مکانیکی ماگما کنترل می‌شود [۲۳]. هر یک از وجوده بلوری با ریخت خاص خود، به صورت متفاوتی به یک گرادیان شیمیایی یکسان واکنش می‌دهد که موجب تشکیل بلورهای ناهم بعد می‌شود [۲۳]. بنا بر پیشنهاد هیگینز [۲] بلورهای تخته‌ای در شرایطی به وجود می‌آیند که شیب تغییرات پتانسیل شیمیایی در پیرامون بلور در حال رشد بالا باشد (شکل ۳ب). دلیل آن این است که سرعت رشد وجود (۰۱۰) نسبت به وجود دیگر، نسبت به افزایش شیب تغییرات پتانسیل شیمیایی واکنش کمتری نشان می‌دهد [۲] (شکل ۸). در جایی که شیب تغییرات بالاست حاشیه‌های تخته به وجود می‌آیند ولی در شرایط تعادلی‌تر، شیب کاهش یافته و رشد بیشتر در سطوح و وجههای تخته رخ می‌دهد [۲]. شیب تغییرات پتانسیل شیمیایی در درجات بالای سردشدنگی، بالاست چون انتشار قادر به تسریع در تأمین مواد اولیه (یون‌ها) به اندازه‌ی کافی نیست [۲۳]. در درجات پایین سردشدنگی، شیب یاد شده کمتر است که در این شرایط بلورها با سرعت کمتری رشد می‌کنند یا جابجایی برشی، ماگما را از پیرامون سطوح بلوری دور می‌کند [۲۳]. بنابراین می‌توان به این نتیجه رسید که ریز بلورهای پلازیوکلаз با نمود تخته‌ای بالا در نمونه آندزیت بازالتی در شرایطی به وجود آمده‌اند که شیب تغییرات پتانسیل شیمیایی در محیط رشدشان بالاتر از این شیب در محیط رشد بلورهای پلازیوکلاز در نمونه‌های دیگر بوده است.

برای مقایسه، داده‌های حاصل از محاسبه‌ی نسبت منظر بلورها در سنگ‌های آتشفشنایی چند بررسی مختلف [۲۵-۲۸] در نمودار زینگ ترسیم شده‌اند. به طور مثال، میکروولیت‌های پلازیوکلاز در بررسی مارتل و پویسینو [۲۵] دارای نسبت منظر بالایی بوده و ریخت‌شناسی تیغه‌ای و سوزنی داشته‌اند (شکل ۷) که این هندسه‌ی بلورها را نتیجه‌ای از فروتافتگی بالا و نظام تبلوری با چیرگی هسته‌بندی معرفی کرده‌اند. از توجه به این نکات چنین برمی‌آید که به طور نسبی ریز بلورهای پلازیوکلاز در نمونه‌ی آندزیت بازالتی در شرایط با سرعت سردشدن بیشتر و سرعت رشد بالاتر نسبت به بلورهای تخته‌ای تا هم بعد دیگر، به وجود آمده‌اند که با بررسی‌های بافتی دیگر این سنگ‌ها نیز سازگار است [۲۹]. با این حال، تفاوت شکلی بلورهای پلازیوکلاز و تغییر شکل این بلورها از حالت‌های تخته‌ای به هم بعد بین نمونه‌های دیبوریتی-کوارتز دیبوریتی را که در شرایط محیطی مشابه به وجود آمده‌اند، نمی‌توان تنها با تغییرات درجه سردشدنگی توجیه کرد.

یکی از شاخص‌های مهم در تعیین شکل بلورها، شیب تغییرات پتانسیل شیمیایی است که خود با عوامل دیگری نظیر تفاوت ترکیبی بین بلور و محیط رشد (ماگما)، سرعت رشد وجوده بلوری، نرخ ورود مواد اولیه مورد نیاز برای رشد بلور و خروج یا حذف اجزای ناخواسته و مزاحم در لایه‌ی شیمیایی مرزی نزدیک به وجه بلور کنترل می‌شود. این نرخ با انتشار یا با



شکل ۸ واکنش احتمالی سرعت‌های رشد وجوده پلازیوکلاز به تغییرات گرادیان پتانسیل شیمیایی پیرامون بلور در حال رشد [۲۰]. سطح (۰۰۱) به عنوان سطح حاشیه‌ی تخته انتخاب شده است (فرض بر این است که سرعت رشد سطوح (۱۱۰)، (۱۰۱) و (۱۱۰) معادل با سطح (۰۰۱) است). اندازه‌ی کلی بلور نمایش داده شده سرعت رشد و زمان تبلور را بازتاب می‌دهد.

نقش انتشار و فرارفت (Advection) (جنبیش نسبی بین بلور و محیط رشد) در تشکیل بلورها، مقایسه و پیشنهاد شده است که در سنگ‌های با بلورهای تخته‌ای پلازیوکلاز که میزان تخته‌ای بودن بلورها بالاست، انتقال مواد (یون‌ها) در اثر فرارفت نسبت به انتقال به وسیله انتشار اهمیت بیشتری داشته است و حرکت‌های همرفتی در محیط تشکیلشان بالا بوده است [۲۰]. تخته‌ای ترین بلورهای پلازیوکلاز در شرایطی رشد می‌کنند که محیطی با قوی ترین فرارفت یعنی محیط با جابه‌جایی مکانیکی بالا در نتیجه حرکت‌های همرفتی یا جابه‌جایی برشی، وجود داشته باشد. بنابراین در نمونه‌ی آندزیت بازالتی که تخته‌ای بودن ریز بلورها بالاست، فرارفت نقش اصلی را در تأمین مواد داشته است.

در ماقماهای فلزیک به دلیل گرانروی بالای ماقما، فرارفت نمی‌تواند نقش چشمگیری در انتقال یون‌های مورد نیاز برای رشد بلورها ایفا کند [۱۶]. بنابراین در محیط تشکیل سنگ‌های دیوریتی- کوارتز دیوریتی، انتشار عامل اصلی در انتقال یون‌ها بوده است. در این خصوص، اعتقاد [۲۲] نیز بر این است که نسبت بالای سرعت انتشار به سرعت رشد (D/G) منجر به

تشکیل بلورهای هم بعد و خودشکل می‌شود. گرانروی ماقماها نیز به نوعی در تعیین شکل بلورها مؤثر است. در اغلب بررسی‌های که روی سنگ‌های با ترکیب اسیدی انجام شده، نسبت‌های منظر بلورها پایین بوده است [۳۱] (شکل ۷) به نظر می‌رسد که گرانروی بالای این گونه ماقماها مانع از حرکت‌های همروفتی با شدت زیاد شود و یکی از عوامل بروز این شکل‌های بلوری باشد.

درشت شدگی بافتی

نکته‌ی دیگر، روند تغییر شکل بلورها در نمونه‌های نفوذی نیمه عمیق از حالت‌های تخته‌ای به حالت‌های هم بعد است. درشت‌شدن شکل پلازیوکلازها از حالت تخته‌ای به شکل‌های هم بعد تر بیان شده است [۳۲].

در ادبیات تبلور، درشت‌شدن شکل بافتی با واژه‌های دیگری مانند تکامل استوالد Ostwald Ripening، بلوغ بلوری، بلوغ بافتی و رشد رقابتی ذرات نیز معروفی شده است [۲، ۳۲]. درشت‌شدن شکل بافتی، فرایندی است که در حوزه‌ی پژوهش‌های

اگر فرض شود که تمام شاخص‌های شیمیایی ثابت باشند، جابه‌جایی مکانیکی لایه‌ی مرزی، خود به تنها می‌تواند تفاوت-هایی را در شکل بلورها ایجاد کند [۳۰]. سطوحی که با سرعت بیشتری رشد می‌کنند، نسبت به این تأثیر حساس‌ترند. جابه‌جایی مکانیکی ماقما (Stirring) در خلال تبلور، بلورهای طویل‌تر و نازک‌تری را نسبت به بلورهایی که در محیط ایستا متبلور می‌شوند، به وجود می‌آورد [۳۰]. کنترل مکانیکی روی شکل بلور، در مورد پلازیوکلازهای آنورتوزیت‌ها در توده‌های نفوذی مافیک مشاهده شده است [۱۹، ۷]. بلورهای پلازیوکلاز در آنورتوزیت توده‌ای که در محیطی نامتلاطم به وجود آمده‌اند نسبت به بلورهای آنورتوزیت دارای خطوارگی که در محیط متلاطم تشکیل شده‌اند، هم‌بعدتر هستند. هیگینز [۲۳]، دو نمود متفاوت را برای ریز بلورها (با نسبت منظر ۵:۶) و درشت‌بلورها (با نسبت منظر ۳:۴) در سنگ‌های داسیتی محاسبه کرد و پیشنهاد کرد که اگر تغییرات سرعت سردشدن قابل ملاحظه نباشد ریز بلورها در یک ماقمای متلاطم و درشت‌بلورها در محیط ساکن‌تری رشد کرده‌اند.

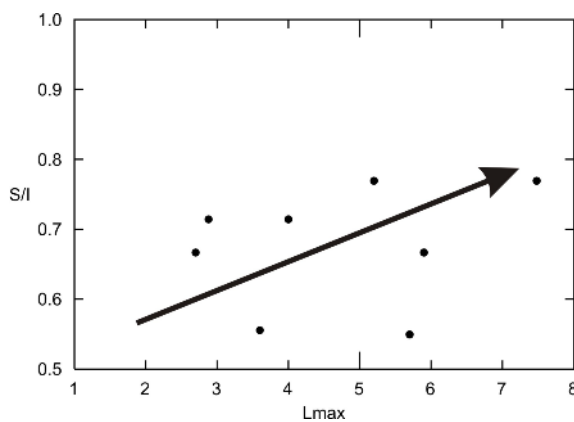
این عامل، نقش قابل توجهی در شکل‌گیری ریز بلورهای نمونه‌ی آندزیت بازالتی داشت ولی تأثیر آن در مورد بلورهای نمونه‌ها دیگر کمتر بوده است. زمان رشد ریز بلورها ۳.۸ سال به دست آمده است [۲۹] که در واقع این رشد می‌تواند حین صعود ماقما به سطح زمین در مجراهای ماقمایی رخ دهد. تفاوت شکلی در نمونه‌های نفوذی نیمه عمیق مورد بررسی دیده نمی‌شود و بلورهای ریز (کوچک‌تر از ۰.۲ میلی‌متر) و بلورهای درشت (بزرگ‌تر از ۰.۲ میلی‌متر) در نمونه‌ها دارای نسبت منظر یکسانی هستند. زمان رشد ریز بلورها در این نمونه‌ها، ۲۸ تا ۶۶ سال و برای درشت بلورها، از ۲۱ تا ۲۴۵ سال برآورد شده است [۱۵] که این زمان‌ها ممکن است حاکی از رشد این بلورها در محیطی بمنسبت ایستا و با تلاطم کم باشد. لازم به یادآوری است که این زمان‌های رشد با فرض دوره زمانی سرد شدن ۳۰۰ ساله (در یک مخزن ماقمایی کم عمق) و سرعت رشد mms^{-1} ۱۰ (برای دیوریت - کوارتز دیوریت) و دوره سرد شدن ۳ ساله (دوره‌ی زمانی سرد شدن در اغلب گدازه‌های بازالتی) و سرعت رشد mms^{-1} ۱۰ آندزیت بازالتی به دست آمده است [۲۹].

افزایش می‌باید [۲۸]. اگر سیستم باز باشد، مثلاً در صورت تزریق ماقمای مافیک‌تر به درون مخزن ماقمایی، محتوای یک فاز می‌تواند مستقل از اندازه‌ی میانگین دانه افزایش باید [۳۷,۳۸]

شكل دانه‌ها نیز همانند اندازه‌ی آن‌ها در نتیجه تکامل استوالد (درشت‌شده‌ی بافتی) دستخوش تغییر شده و به سمت تعادل بیشتر پیش می‌رود تا به این ترتیب در به حداقل رساندن انرژی آزاد سطحی سیستم، شتاب بیشتری صورت گیرد [۴۰]. برخی بررسی‌های تجربی نیز تغییر شکل و اندازه و کاهش نسبت منظر بلورها در حین درشت‌شده‌ی بافتی را به تأثید رسانده‌اند [۴۱-۴۳]. تغییر شکل بلورهای پلازیوکلاز از منشوری به تخته‌ای در یک مذاب بازالتی که تحت تأثیر مراحل مختلف سرمایش و گرمایش قرار گرفته باشد، مشاهده شده است [۴۲]. مدل‌سازی و شبیه‌سازی این فرآیند نیز نتایج مشابهی را ارائه داده است [۳۴]. چنان‌که در شکل ۹ دیده می‌شود، رابطه مستقیمی بین نسبت S/I با طول بیشینه I (L_{max}) وجود دارد بهطوری که در نمونه‌هایی که دارای بلورهای درشت‌تری هستند، این نسبت به ۱ نزدیک‌تر است و در ضمن نسبت I/L نیز به همین ترتیب متناسب با افزایش اندازه‌ی بلورها به عدد ۱ نزدیک‌تر می‌شود. بنابراین اثر فرآیند درشت‌شده‌ی بافتی هم بر اندازه و هم بر شکل بلورها در سنگ‌های مورد بررسی مشهود است [۱۵].

داده‌های شکل بلورها و روند آن‌ها با داده‌های برخی بررسی‌های که فرآیند درشت‌شده‌ی بافتی را در شکل‌گیری بافتی سنگ‌ها مسئول دانسته‌اند [۳۷,۳۲] مقایسه شده است. در نهایت این نتیجه به‌دست آمد که صرف نظر از نوع سنگ (آتشفشنانی یا نفوذی)، موقع فرآیند یاد شده در مخازن ماقمایی نیمه‌عمیق و عمیق، موجب تغییر اندازه و شکل بلورها شده و نسبت‌های منظر بلورها کاهش یافته است. بهطور مثال بلورهای پلازیوکلاز در آنورتوزیت‌ها [۳۲] در نمودار زینگ شکل‌گیری از حالت‌های تخته‌ای به حالت‌های هم‌بعدتر را در اثر درشت‌شده‌ی بافتی نشان داده‌اند؛ یا علیرغم اینکه در سنگ‌های آتشفشنانی، میزان تخته‌ای بودن پلازیوکلازها همواره بالاست ($L>I$)، در آنژیت‌هایی که دستخوش این فرآیند در مخازن کم‌عمق شده‌اند، نسبت منظر $1.5:1.5:1$ برای پلازیوکلازها به‌دست آمده است [۳۷].

صنعتی و بهخصوص علوم مهندسی و شیمی مواد بسیار مهم است و دستمایه‌ی پژوهش‌های متعددی بوده است [۳۳، ۳۴]. اصول این فرآیند نیز از این علوم وارد مباحث زمین‌شناسی شده است. موقع این فرآیند در سنگ‌های دگرگون [۳۵] سنگ‌های آذرین نفوذی [۳۶, ۳۲] و سنگ‌های آتشفشنانی [۳۷, ۳۸] بررسی شده است. هیگینز [۲۸, ۳۶] فرایند درشت‌شده‌ی را به این شرح توصیف کرده است: دانه‌های کوچک در مخلوط‌های چندفازی، انرژی آزاد سطحی در واحد حجم بالاتری نسبت به دانه‌های بزرگ دارند و به همین دلیل پایداری کمتری دارند. در چنین شرایطی برای به حداقل رسیدن انرژی در سیستم، اندازه‌ی میانگین دانه‌ها افزایش پیدا می‌کند. بلورهای کوچک‌تر از اندازه یا شاعع معینی (که اندازه یا شاعع بحرانی نامیده می‌شود) دستخوش انحلال می‌شوند و مواد آن‌ها برای رشد بلورهای بزرگ‌تر مصرف می‌شود [۲۸, ۳۶]. به عبارت دیگر بلورهای بزرگ‌تر به خرج بلورهای کوچک‌تر رشد می‌کنند. این فرایند، زمانی رخ می‌دهد که بلورهای یک فاز برای مدتی نزدیک به آبگونی آن فاز نگه داشته شوند [۲۸, ۳۶]. در این شرایط، سرعت هسته بندی صفر است، ولی سرعت رشد برای بلورهای بزرگ‌تر از اندازه یا شاعع بحرانی بالاست. باید خاطرنشان کرد که شرایط یاد شده لزوماً به معنی این نیست که دما ثابت نگه داشته شده است، بلکه تنها درجه‌ی سرددشده‌ی به میزان کمی باقی خواهد ماند [۳۶, ۲۸]. این شرایط در سیستم‌های ماقمایی می‌تواند ناشی از تزریق ماقمای با ترکیب مافیک‌تر به درون مخزن [۳۷]، اختلاط در درون مخزن به دلیل جریان‌های هم‌رفتی [۳۹] و تغییر در گریزندگی مواد فرار [۲, ۳۸] به وجود آید که در مورد سنگ‌های این بررسی، با توجه به شواهد سنگنگاری و مدل‌سازی ژئوشیمیایی، اختلاط ماقمایی می‌تواند تامین‌کننده‌ی گرمای مورد نیاز برای انجام فرآیند درشت‌شده‌ی بافتی بوده باشد. ماده از بلورهای بزرگ‌تر انتقال می‌باید، بنابراین درشت‌شده‌ی در صورتی رخ می‌دهد که یک فاز آبگون مانند گذازه (یا در شرایط عدم وجود آبگون) حضور داشته باشد [۲۸, ۳۶]. اگرچه در صورت عدم وجود آبگون، انتشار در میان بدنه دانه‌ها یا در راستای مرزهای بین دانه‌ای نیز صورت می‌گیرد [۳۶]. درشت‌شده‌ی بافتی می‌تواند در سیستم‌های بسته یا باز رخ دهد [۲۸]. اگر سیستم بسته باشد، باید محتوای کلی یک فاز ثابت بماند؛ در حالی که اندازه‌ی میانگین دانه‌ها



شکل ۹ نمودار نسبت S/I به اندازه بیشینه بلوورها در هر نمونه که روندی افزایشی را نشان می‌دهد.

گیری مagma در مخزن کم عمق و افزایش درجه سردشدنگی در اثر تماس با سنگهای سرد پوسته، هسته‌بندی و رشد بلوورهای پلازیوکلاز شروع شده است. رشد بلوورها با سرعت کم (در حدود 10^{-1} mms^{-1}) و در محیطی به نسبت ایستا انجام می‌شده و نسبت سرعت انتشار به سرعت رشد (D/G) بالا بوده به طوری که موجب تشکیل بلوورهای تخته‌ای پلازیوکلاز شده است. با تزریق magma مافیک‌تر و داغ‌تر به درون مخزن (که شواهد سنگنگاری و مدل‌سازی ژئوشیمیایی آن را تائید کرده‌اند)، دمای magma تا نزدیکی آبگون پلازیوکلاز افزایش یافته و در خلال این کاهش درجه سردشدنگی، بلوورهای بزرگ‌تر به خروج بلوورهای کوچک‌تر رشد کرده‌اند (فرایند درشت‌شدنگی بافتی). طول بیشینه بلوورها افزایش یافته و شکل بلوورها از حالت‌های تخته‌ای با ($I, L > 2$) به حالت‌های هم بعدتر ($I, L < 2$) تغییر یافته است. در نهایت با توقف تزریق و کاهش آرام درجه سردشدنگی، بلوورهای ریز زمینه با شرایط کینتیکی مشابه شرایط اولیه تشکیل شده‌اند.

قدرتانی

از آقایان D. A. Jerram و D. J. Morgan که برنامه CSDSlice را در اختیار ما گذاشتند و راهنمایی‌های ارزنده‌شان در پیشبرد این پژوهش بسیار مؤثر بود، تشکر می‌کنیم.

مراجع

- [1] Marsh B. D., *On the interpretation of crystal size distribution in magmatic systems*, "Journal of

برداشت با استفاده از روش‌های مطرح شده در این پژوهش می‌توان شکل سه بعدی بلوورها را به صورت کمی اندازه‌گیری کرد و با تلفیق بررسی‌های کمی و کیفی دیگر سنگنگاری به بحث درباره شرایط کینتیکی و دینامیکی تبلور در سنگهای آذرین پرداخت. نتایج این بررسی حاکی از این است که تغییرات هر چند کوچک بین شکل بلوورهای پلازیوکلاز در گروهی از سنگهای با کانی‌شناسی و ترکیب شیمیایی مشابه را می‌توان به صورت عددی نشان داد و با تفسیر علل این تغییرات به چگونگی تشکیل بافت نهایی سنگهای آذرین پی برد. نکات برجسته‌ای که از این پژوهش برداشت شده‌اند به شرح زیرند:

- روش‌های مختلف اندازه‌گیری شکل بلوورها، برای نمونه‌هایی که شکل بلوورها تخته‌ای تا هم بعد و مقادیر I و L کمتر از دو باشند، نتایج مشابهی می‌دهند.
- پلازیوکلازهای ریز بلوور در نمونه بازالتی که دارای نمود تخته‌ای بالایی هستند ($I=L=6$) نسبت به سایر نمونه‌ها در شرایطی با درجه سردشدنگی پیشتر، سرعت رشد بالاتر، زمان رشد کمتر (۳.۸ سال) و در محیطی که جنبش نسبی بین بلوور و محیط رشد بالا بوده است تشکیل شده‌اند و جایه‌جایی مکانیکی magma نقش قابل توجهی در ایجاد شکل‌ها داشته است. شب تغییرات پتانسیل شیمیایی نیز در محیط رشد ریز بلوور بالا بوده است.
- موثر بودن شرایط کینتیکی و دینامیکی تبلور، در تثبیت شکل بلوورهای پلازیوکلاز در نمونه‌های گروه دوم (دیوریت‌ها - کوارتز دیوریت‌ها) را می‌توان بدین صورت بیان کرد: با جای-

- [11] Higgins M. D., *Closure in crystal size distribution (CSD), verification of CSD calculations and the significance of CSD fans*, American Mineralogist, 87 (2002) 160–164.
- [12] Tirrul R., Bell I.R., Griffis R.J., Camp V.E., *The Sistan Suture Zone of eastern Iran*, Geol.Soc.Am.Bull 94 (1983) 134-150
- [۱۳] فتوحی راد، غ، "پترولوزی و ژئوشیمی افیولیت‌های دگرگون شده شرق بیرجند"، رساله دکتری، دانشگاه تربیت معلم تهران (۱۳۸۳) صفحه ۲۴۴
- [14] Eftekhar Nezhad J., Alavi Naini M., Behroozi A., *Explanatory Text of the Gazik Quadrangle Map 1:250,000*, Geological survey of Iran 1990 200pp
- [۱۵] اسکندری، ا، "پترولوزی و ژئوشیمی سنگ‌های ماغماتی ترشیری و لیستونیت‌های جنوب خاوری بیرجند"، پایان‌نامه کارشناسی ارشد دانشگاه تربیت معلم تهران (۱۳۸۸) ص ۲۱۲
- [16] Mock A., Jerram D. A., *Crystal size distributions (CSD) in three dimensions: insights from the 3D reconstruction of a highly porphyritic rhyolite*, Journal of Petrology 46 (2005) 1525–1541.
- [17] Jerram D. A., Higgins M.D., *3D analysis of rock textures: quantifying igneous microstructures*, Elements 3 (2007) 239–245.
- [18] Garrido C. J., Kelemen P. B., Hirth G., "Variation of cooling rate with depth in lower crust formed at an oceanic spreading ridge; plagioclase crystal size distributions in gabbros from the Oman Ophiolite", Geochemistry, Geophysics, Geosystems 2 (2001) 2000GC000136.
- [19] Higgins M. D., *The origin of laminated and massive anorthosite, Sept Iles intrusion, Quebec, Canada*, Contributions to Mineralogy and Petrology 106 (1991) 340–354.
- [20] Higgins M. D., Chandrasekharam D., *Nature of Sub- volcanic Magma chambers, Deccan Province, India: Evidence from Quantitative Textural Analysis of Plagioclase* Petrology 39 (1998) 553-599.
- [2] Higgins M. D., *Quantitative Textural Measurements in Igneous and Metamorphic Petrology*, Cambridge University Press, Cambridge (2006) 265P
- [3] Higgins M.D., Roberge J., *Three magmatic components in the 1973 eruption of Eldfell volcano, Iceland: Evidence from plagioclase Crystal size distribution (CSD) and geochemistry*, Journal of Volcanology and Geothermal Research 161 (2007) 247–260
- [4] Jerram D. A., Kent A., *An overview of modern trends in petrography: textural and microanalysis of igneous rocks*, Journal of Volcanology and Geothermal Research 154 (2006) vii–ix.
- [5] Cashman K.V., Marsh B.D., *Crystal size distribution (CSD) in rocks and the kinetic and dynamics of crystallization II : Makaopuhi Lava lake*, Contributions to Mineralogy and Petrology 99 (1988) 292-305.
- [6] Higgins M.D., *Measurement of crystal size distributions*, American Mineralogist 85 (2000) 1105-1116.
- [7] Higgins M.D., *Determination of crystal morphology and size from bulk measurements on thin sections: numerical modeling*, American Mineralogist, 79 (1994) 113-119.
- [8] Morgan D. J., Jerram D. A., *On estimating crystal shape for crystal size distribution analysis*, Journal of Volcanology and Geothermal Research 154 (2006) 1–7.
- [9] Jerram D. A., Cheadle M. J., Hunter R. H., Elliott M. T., *The spatial distribution of grains and crystals in rocks*, Contributions to Mineralogy and Petrology 125(1) (1996) 60-74.
- [10] Holness M. B., Cheadle M. J., Mckenzie D., *On the use of changes in dihedral angle to decode late-stage textural evolution in cumulates*, Journal of Petrology 46 (2005) 1565–1583.

[۲۹] امینی ص، اسکندری ا، "مقایسه شرایط تشکیل پلازیوکلازها در سنگهای کوارتزدیوریت و الیوین بازالت جنوب شرق بیرجند با استفاده از روش CSD، مجموعه مقالات دوازدهمین همایش انجمن زمین‌شناسی ایران (۱۳۸۷) ۷۵۶-۷۵۶

۷۴۸

[30] Kouchi A., Tsuchiyama A., Sunagawa I., "Effects of stirring on crystallization of basalt: texture and element partitioning," Contributions to Mineralogy and Petrology 93 (1986) 429–438.

[31] Higgins M.D., Meilleur D., Development and emplacement of the Inyo Domes Magmatic Suite, California: Evidence from geological, textural (CSD) and geochemical observations of ash and lava," Journal of Volcanology and Geothermal Research 186 (2009) 280–292

[32] Higgins M.D., Origin of anorthosite by textural coarsening: quantitative measurements of a natural sequence of textural development," Journal of Petrology 39 (1998) 1307–1325.

[33] Voorhees P.W., Ostwald ripening of two-phase mixtures," Annual Review of Materials Science 22 (1992) 97–215.

[34] Kitayama M., Hirao K., Toriyama M., Kanzaki S., Modeling and simulation of grain growth in Si_3N_4 —I. Anisotropic Ostwald ripening," Acta Materialia 46 Issue 18 (1998) 6541-6550

[35] Cashman K. V., Ferry J. M., Crystal size distribution (CSD) in rocks and the kinetics and dynamics of crystallization III. Metamorphic crystallization," Contributions to Mineralogy and Petrology 99 (1988) 410–415.

[36] Higgins M.D., Origin of megacrysts in granitoids by textural coarsening: a crystal size distribution (CSD) study of microcline in the Cathedral Peak Granodiorite, Sierra Nevada, California," In: Castro, A., Fernandez, C., and Vigneresse, J.L. (eds.), Understanding Granites: Integrating New and Classical Techniques.

Megacrysts in the Giant Plagioclase Basalts," Journal of Petrology 48 (2007) 885-900

[21] Sunagawa I., Morphology of crystals ". Reidel, Dordrecht, The Netherlands. (1987) 743 p

[22] Vernon R. H., A practical guide to Rock Microstructure". Cambridge University Press, Cambridge (2004)

[23] Higgins M.D., Magma dynamics beneath Kameni Volcano, Thera, Greece, as revealed by crystal size and shape measurements," Journal of Volcanology and Geothermal Research 70 (1996) 37-48

[24] Lofgren G. E., An experimental study of plagioclase crystal morphology: isothermal crystallization," American Journal of Science 274 (1974) 243-273.

[25] Martel C., Poussineau S., Diversity of eruptive styles inferred from the microlites of Mt Pelée andesite (Martinique, Lesser Antilles)," Journal of Volcanology & Geothermal Research 166, Issues 3-4 (2007) 233-254

[26] Jerram D.A., Martin V.M., Understanding crystal populations and their significance through the magma plumbing system. From: Annen, C. & Zellmer, G. F. (eds) Dynamics of Crustal Magma Transfer, Storage and Differentiation," Geological Society, London, Special Publications 304 (2008) 133–148.

[27] Salisbury M. J., Bohrson W.A., Clyne M.A., Ramos F.C., Hoskin P., Multiple Plagioclase Crystal Populations Identified by Crystal Size Distribution and in situ Chemical Data: Implications for Timescales of Magma Chamber Processes Associated with the 1915 Eruption of Lassen Peak, CA," Journal of Petrology 00 (2008) 1-26

[28] Jerram D.A., Cheadle M.C., Philpotts A.R., Quantifying the building blocks of igneous rocks: are clustered crystal frameworks the foundation? ", Journal of Petrology 44 (2003) 2033–2051.

and plagioclase in silicate melts: implications for the growth and size of crystals in magmas", Contributions to Mineralogy and Petrology 150, 1 (2005) 37-53
[42] Schiavi F., Walte N., Keppler H., "First *in situ* observation of crystallization processes in a basaltic-andesitic melt with the moissanite cell", Geology v. 37 no. 11 (2009) 963-966

[43] Park Y., Hanson B., Experimental investigation of Ostwald-ripening rates of forsterite in the haplobasaltic system", Journal of Volcanology and Geothermal Research 90, Issues 1-2 (1999) 103-113

[۴۴] نقشه زمین‌شناسی ۱:۱۰۰۰۰ پرنگ.، ۱۳۸۶، سازمان زمین‌شناسی و اکتشافات معدنی کشور.

Geological Society, London, Special Publications 168 (1999) 207-219.

[37] Higgins M.D., Roberge J., "Crystal size distribution (CSD) of plagioclase and amphibole from Soufriere Hills volcano, Montserrat: evidence for dynamic crystallization/textural coarsening cycles", Journal of Petrology 44 (2003) 1401-1411

[38] Higgins M. D., "The Cascadia megathrust earthquake of 1700 may have rejuvenated an isolated basalt volcano in western Canada: Age and petrographic evidence, Journal of Volcanology and Geothermal Research 179 (2009) 149-156

[39] Couch S., Sparks R. S. J., Carroll M. R., "Mineral disequilibrium in lavas explained by convective self-mixing in open magma chambers", Nature 411 (2001) 1037-1039.

[40] Best M. G., Christiansen E. H., Igneous Petrology, Blackwell Science (2001) 458P

[41] Cabane H., Laporte D., Provost A., "An experimental study of Ostwald ripening of olivine